

基于 Cyclam 衍生物的单核金属配合物的结构及核酸酶活性

李志喜 胡明 刘超 杨晓亮*

(南京大学化学化工学院, 配位化学国家重点实验室, 南京 210093)

摘要: 以 1,8-二甲基-1,4,8,11-四氮杂环十四烷为原料, 以 *N,N'*-二叔丁氧羰基-2-甲璜酰氧基-1,3-二氨基丙烷为烷基化试剂, 合成了 cyclam 衍生物: 1,8-二(*N,N'*-二叔丁氧羰基-1,3-二氨基丙基)-4,11-二甲基-1,4,8,11-四氮杂环十四烷(L_1); 及其对应的系列单核金属配合物, $[Zn(L_1)Cl_2]$ (**1**), $[Ni(L_1)Cl_2]$ (**2**) 和 $[Cu(L_1)Cl_2]$ (**3**); 核磁结果表明, L_1 为 C2 对称结构, 且 cyclam 环上每一个亚甲基碳上的 2 个氢化学不等价; 利用 2D [1H , ^{15}N] HSQC 对比配体配位前后 N-H 化学位移的变化, 确定配合物的结构是金属与配体 cyclam 环上的 4 个氮原子配位; 利用变温核磁 1H NMR 和 ^{13}C NMR, 结合 2D [1H , ^{15}N] HSQC 核磁共振波谱表明, 配合物 **1** 在溶液中主要以两种构型并存, 并主要以 *trans*-**III** 构型存在。此外, 用凝胶电泳研究了配体与单核金属配合物对超螺旋 pBR322 质粒 DNA 切割活性; 实验结果表明, 配合物 **3** 在抗坏血酸存在的条件下具有核酸酶活性, 而配体(L_1), 配合物 **1** 和配合物 **2** 在实验条件下, 无论是氧化切割还是水解切割都显阴性。

关键词: Cyclam 衍生物; 单核金属配合物; 构型; 人工核酸酶

中图分类号: O614.24⁺¹; O614.81⁺³; O614.121 文献标识码: A 文章编号: 1001-4861(2015)01-0127-06

DOI: 10.11862/CJIC.2015.023

Structural Characterization and Artificial Nuclease Activity of Transition Metal Complexes of Cyclam Derivatives

LI Zhi-Xi HU Ming LIU Chao YANG Xiao-Liang*

(State Key Laboratory of Coordination Chemistry, Chemistry and Chemical Engineering,
Nanjing University, Nanjing 210093, China)

Abstract: A cyclam-based ligand: tetratert-butyl ((4,11-dimethyl-1,4,8,11-tetraazacyclotetradecane-1,8-diyl)bis(propane-3,2,1-triyl)) tetracarbamate (L_1), and its metal complexes $[Zn(L_1)Cl_2]$ (**1**), $[Ni(L_1)Cl_2]$ (**2**) and $[Cu(L_1)Cl_2]$ (**3**) were designed and synthesized. L_1 has a C2 symmetrical structure and the 1H chemical shift of the same carbon was different because of the influence of cyclam ring. The metal binding site of the L_1 was confirmed by 2D [1H , ^{15}N] HSQC by comparing the chemical shift of N of the branched chains of the ligand that of with the corresponding metal complex. The co-existence of two configuration was characterized by ^{13}C VT NMR combined with 2D [1H , ^{15}N] HSQC NMR and *trans*-**III** was confirmed to be the main configuration for complex **1**. The cleavage activity of the ligand L_1 and the complexes **1**~**3** was investigated in detail under physiological conditions. Agarose gel electrophoresis experiments showed that the complex **3** possesses interesting nuclease activity in the present of ascorbate; No matter the hydrolysis or oxidation, the ligand L_1 and complex **1**, and **2** were negative to DNA at the experimental conditions.

Key words: cyclam derivatives; mono-metal complex; configuration; artificial nuclease

收稿日期: 2014-08-11。收修改稿日期: 2014-10-24。

国家自然科学基金(No.21131003)资助项目。

*通讯联系人。E-mail: yxlnmr@nju.edu.cn

大环多胺化合物与许多金属离子有良好的结合能力,通常在结合过程中伴随着大环的构型变化^[1-2]。Cyclam(1,4,8,11-四氮杂环十四烷)是最常用的大环多胺之一,也是配位化学领域中使用最为广泛的配体之一。Cyclam衍生物在与金属的结合过程中,由于N-取代基空间分布的不同,会产生五种可能的构型:RSRS、RSRR、SSRR、RSSR以及RRRR,分别命名为*trans*-I~*trans*-V^[3]。

近年来,金属小分子化合物作为DNA的切割试剂得到广泛的研究^[4-5],特别是人工水解切割酶的设计与合成,因为水解切割除了能得到含有粘性末端的断裂产物外,同时还具有高选择性、高效率的特点^[6-7]。而大环多胺类的铜(II)、锌(II)和镍(II)配合物被用于人工核酸酶研究,具有良好的DNA切割活性^[8-10]。

为了寻求有效的cyclam衍生物的金属人工核酸酶,本文以1,8-二甲基-1,4,8,11-四氮杂环十四烷为原料,*N,N'*-二叔丁氧羰基-2-甲磺酰氨基-1,3-二氨基丙烷为烷基化试剂,合成得到了cyclam衍生物:1,8-二(*N,N'*-二丁氧羰基-1,3-二氨基丙基)-4,11-二甲基-1,4,8,11-四氮杂环十四烷(L₁);及其对应的系列单核金属配合物:Zn(L₁)Cl₂(1),Ni(L₁)Cl₂(2)和Cu(L₁)Cl₂(3);利用¹H、¹³C NMR及2D [¹H, ¹⁵N]HSQC对比配体和配合物侧链N-H化学位移的变化,确定了配合物的结构是金属与cyclam环上的4个N进行配位;利用变温核磁¹H NMR和¹³C NMR,结合2D [¹H, ¹⁵N]HSQC核磁共振波谱表明,配合物1在溶液中以2种构型并存,并主要以*trans*-III构型存在。用凝胶电泳研究了配体和单核金属配合物对超螺旋pBR322质粒DNA切割活性。

1 实验部分

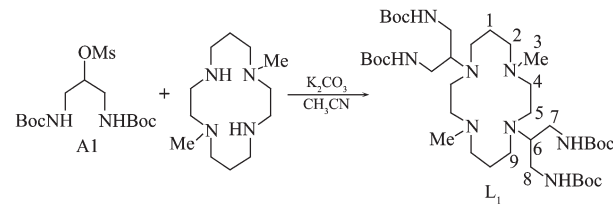
1.1 试剂和仪器

常用化学试剂例如:乙酸乙酯,甲醇,二氯甲烷,乙腈,二甲基亚砜,乙醚,异丙醇,丙酮,三乙胺,碳酸钾,氯化钠,石油醚,正己烷,硫酸钠,水合氯化铜,水合氯化镍,碳酸氢钠,氯化锌等为分析纯,均从试剂公司购得,使用前未做进一步纯化。其中无水二氯甲烷,无水三乙胺和无水乙腈是在氢化钙存在下,回流数小时进行无水处理。1,8-二甲基-1,4,8,11-四氮杂环十四烷购自Aldrich公司,1,3-二氨基-2-丙醇购自安耐吉公司。红外光谱在Bruker VECTOR 22红外光谱仪上测定(4 000~400 cm⁻¹,KBr压片)。¹H NMR、¹³C NMR均在Bruker AVANCE III 600核磁仪上测

定(298.5 K),变温¹³C NMR在Bruker AVANCE III 400核磁仪上测定。电喷雾质谱在LCQ电喷雾质谱仪(ESI-MS, Finnigan)上测定,配合物的组成通过比较实测同位素峰形和ISOPRO 3.0程序的模拟峰形确定。

1.2 L₁的合成

配体L₁的合成路线如Scheme 1所示,其中烷基化试剂A1按文献方法^[11]在本实验室合成得到。配体L₁按文献方法合成^[12],在100 mL的三颈瓶中,依次称取1,8-二甲基-1,4,8,11-四氮杂环十四烷(1.0 g,4.4 mmol),无水碳酸钾(2.0 g,14.0 mmol),KI(1.5 g,9.3 mmol),烷基化试剂A1(3.6 g,9.6 mmol),加入无水乙腈(100.0 mL),氮气保护下回流48 h。冷却后过滤,真空浓缩后得到黄色油状液体。柱层析分离:(V_{CH₂Cl₂}:V_{CH₃OH}:V_{NH₄OH(25%)}=100:10:0.2)(硅胶300~400目)。浓缩得白色固体,收率:15%。L₁的高分辨质谱:m/z=795.5685[L₁+Na]⁺(Found),m/z=795.5684[L₁+Na]⁺(Calcd.)。¹H NMR(600 MHz,DMSO-d₆)δ:3.40(bs,2H,-CH),3.05~3.09(d,4H,CH₂NHBoc),2.54(d,2H,α-CH₂),2.58(s,2H,CH₂NHBoc),2.53(s,4H,α-CH₂),2.36(m,4H,α-CH₂),2.23(2H,d,α-CH₂),2.21(s,2H,CH₂NHBoc),2.17(s,6H,NCH₃),1.75(bs,2H,β-CH₂),1.51(bs,2H,β-CH₂),1.37(s,36H,C(CH₃)₃)。¹³C NMR(150 MHz,DMSO-d₆)δ:156.41,155.91,77.86,54.96,53.04,52.31,51.65,49.40,48.53,43.83,42.08,28.73,28.66,24.74。红外光谱(KBr压片):3 385,2 970,2 795,1 691,1 513,1 369,1 171 cm⁻¹。



Scheme 1 Synthesis of L₁

1.3 单核金属配合物的合成^[13]与表征

分别将ZnCl₂(0.15 mmol),NiCl₂·2.5H₂O(0.15 mmol)和CuCl₂·2H₂O(0.15 mmol)与L₁(0.05 mmol)溶于甲醇(5.0 mL)中,回流4 h,将混合溶液浓缩至1.0 mL,将其滴加到乙醚中,离心,干燥,得灰色粉末Zn(L₁)Cl₂(1),深绿色粉末Ni(L₁)Cl₂(2)和深蓝色粉末Cu(L₁)Cl₂(3)。对于镍和铜配合物,由于顺磁性的影响,对其进行表征主要利用电喷雾质谱。

配合物1(ZnC₃₈H₇₆N₈O₈Cl₂)的电喷雾质谱:m/z=

$873.7[1\text{-Cl}]^+, m/z=835.7[1\text{-}2\text{Cl+H}]^+$ 。**1** 的 ^1H NMR(600 MHz, DMSO-d₆) δ : 1.31~1.52 (m, 40H), 1.55~2.46(m, 16H), 2.54~3.32 (m, 16H)。红外光谱(KBr压片): 3 445, 2 989, 1 687, 1 633, 1 145, 1 070, 535 cm⁻¹。

配合物**2** ($\text{NiC}_{38}\text{H}_{76}\text{N}_8\text{O}_8\text{Cl}_2$) 的电喷雾质谱: $m/z=865.5[2\text{-Cl}]^+, m/z=830.5[2\text{-}2\text{Cl-H}]^+$ 。红外光谱(KBr压片): 3 354, 2 982, 2 926, 1 703, 1 518, 1 368, 1 252, 1 171 cm⁻¹。

配合物**3** ($\text{CuC}_{38}\text{H}_{76}\text{N}_8\text{O}_8\text{Cl}_2$) 的电喷雾质谱: $m/z=871.3[3\text{-Cl}]^+, m/z=835.3[3\text{-}2\text{Cl-H}]^+$ 。红外光谱(KBr压片): 3 424, 2 978, 1 678, 1 633, 1 127, 1 043, 533 cm⁻¹。

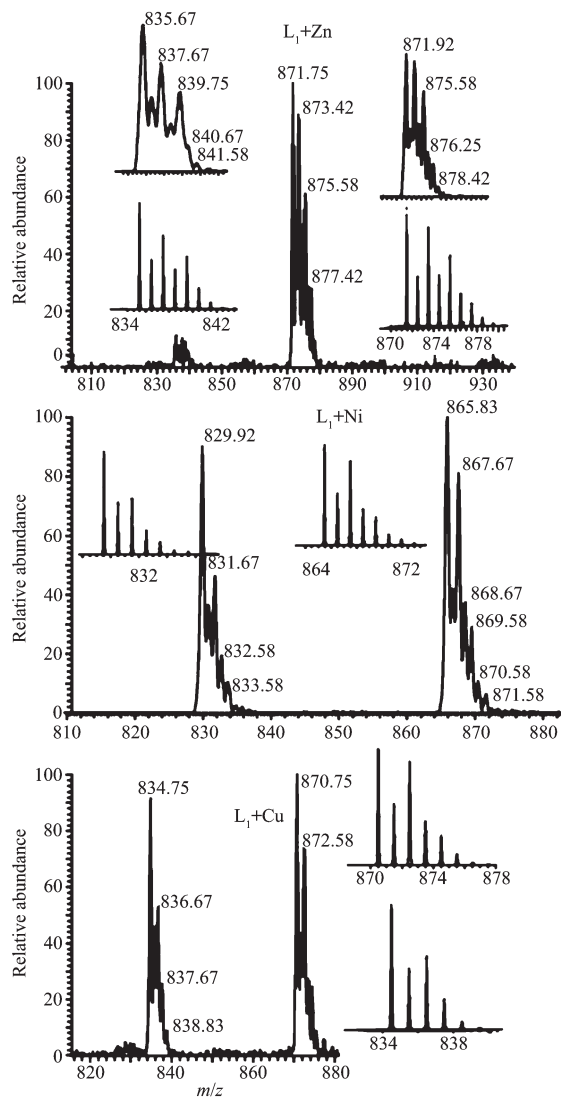


图1 配合物**1~3** 的 ESI-MS 与程序模拟峰
Fig.1 ESI-MS spectra of complexes **1~3** in a methanol solution

1.4 配体与单核金属配合物的对 DNA 的切割实验

以超螺旋 pBR322 质粒 DNA 为底物, Tris-HCl 电泳缓冲液 (50 mmol·L⁻¹ Tris-HCl/50 mmol·L⁻¹ NaCl, pH 7.4) 的水溶液介质中, 分别考察了配体和单核金属配合物对 DNA 的切割活性。实验条件为: DNA 的浓度为 200 ng·L⁻¹, 实验温度为 37 °C 或 55 °C, 在电泳分离前, 底物与各化合物孵化 1 h 或 6 h, 抗坏血酸的物质的量为化合物的 100 倍。每份样品利用凝胶电泳分析结果, 用 UVP 凝胶成像系统完成电泳图的成像。

2 结果与讨论

2.1 L₁ 的结构研究

在合成得到配体 L₁ 后, 其结构经 IR、MS、 ^1H NMR、 ^{13}C NMR 及 2D NMR 进行确定, 该化合物的核磁共振氢谱共有 10 组峰, 碳谱共有 14 组峰(图 2), 据此可以推测 L₁ 呈 C₂ 对称结构; 在其 2D [^1H ,

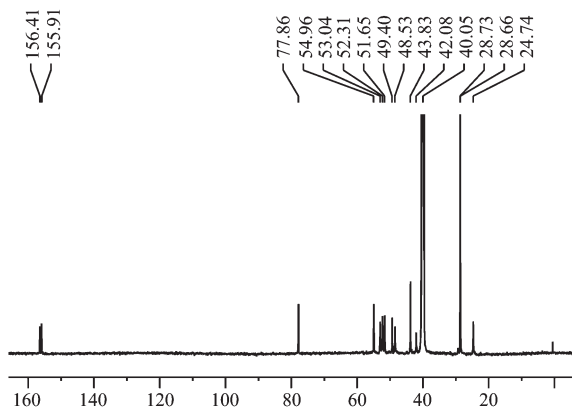


图2 配体 L₁ 的 ^{13}C 谱(600 MHz, DMSO-d₆)

Fig.2 ^{13}C NMR spectrum of L₁ (600 MHz, DMSO-d₆)

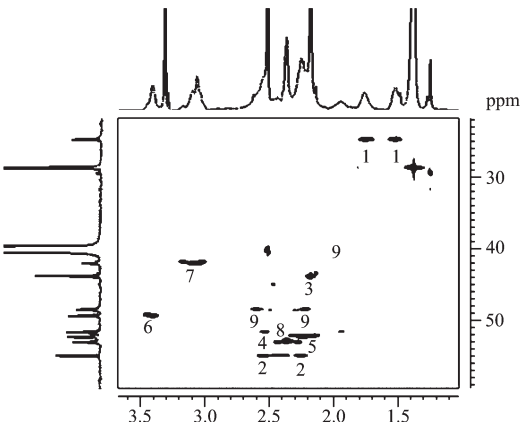


图3 配体 L₁ 的 2D [^1H , ^{13}C] HSQC 谱(600 MHz, DMSO-d₆)

Fig.3 2D [^1H , ^{13}C] HSQC spectrum of L₁ (600 MHz, DMSO-d₆)

¹³CJHSQC(图3)中,结合2D COSY,通过对配体L₁归属可发现,配体L₁的cyclam环上的每一个亚甲基碳上的2个氢都是化学不等价;在侧链上,同侧1,3位2个亚甲基的¹H,¹³C(3.06/42.08,2.21/48.53)化学位移也不相同。

2.2 配合物1的配位点及构型研究

2.2.1 2D[¹H,¹⁵N]HSQC对配合物1配位点的研究

早期对于cyclam衍生物的金属配合物构型研究时,通常选用未经结构修饰的cyclam或用桥连基团将cyclam环固定而得到的衍生物为模板,利用核磁滴定或通过合成的方法得到其金属配合物,来研究溶液状态下不同金属以及同种金属不同阴离子的条件下cyclam衍生物金属配合物的构型问题^[3,14]。本研究中单核锌(II)配合物1由配体L₁与ZnCl₂反应得到。在图4中比较配合物1和配体L₁的¹H NMR可以看到:配合物1 cyclam环上的烷基峰信号(3.9~1.9)和配体相比,有很大的改变,其中N-Me化学位移由2.17向低场移至2.42,而侧链上的烷基氢及氮氢化学位移变化不大;配合物1的¹³C NMR中,cyclam环上的烷基碳的化学位移分别是:61.46,62.30(C2);44.37,44.60(C3);57.85,57.53(C4);51.50(C5);55.40,55.08(C9)。与对应的配体L₁的54.96(C2);43.83(C3);51.65(C4);52.32(C5);53.04(C9)相比明显的向低场移动。核磁共振氢谱、碳谱均表明锌(II)是与cyclam环上的氮原子进行配位;为了进一步研究配合物的配位点,我们利用2D[¹H,¹⁵N]HSQC核磁技术,对比配体在配位前后N-H化学位移的变

化来研究其配位点。在配体L₁的2D[¹H,¹⁵N]HSQC(图5)中,因侧链化学环境的不同,可以看到2组交叉峰,即H1(7.01,79.65)和H2(6.90,90.47),分别对应为侧链1,3位亚甲基相连的2个Boc保护的伯胺氮原子上的氢;而在配合物1的2D[¹H,¹⁵N]HSQC中,可以看到3个交叉峰,即H1(7.07,80.33),H2(6.94,79.96),以及H3(6.98,94.22),通过对比可以发现,配体L₁在配位前后,其侧链¹⁵N和¹H的化学位移都未发生明显变化,因此可以推测金属锌(II)在与配体L₁进行配位时,其侧链的N并未参与配位,此外根据N-H相关峰的组数,也可以发现配合物1呈一个对称的结构,结合Zn(II)的配位特点(四配位,五配位和六配位),可推测配合物1的结构是金属Zn(II)是与cyclam环上的4个N进行配位。

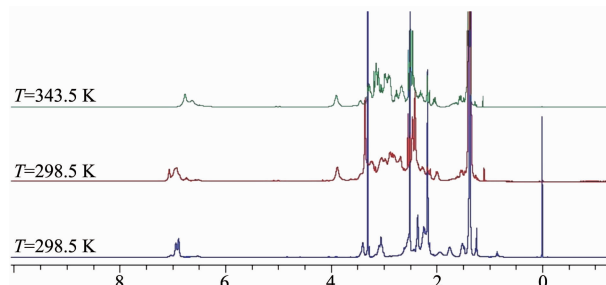


图4 配合物1与配体L₁的¹H NMR谱(600 MHz, DMSO-d₆)

Fig.4 Compare of ¹H NMR of complex 1 and L₁ (600 MHz, DMSO-d₆)

2.2.2 变温核磁对配合物(I)构型的研究

Cyclam衍生物在与金属的结合过程中,由于N

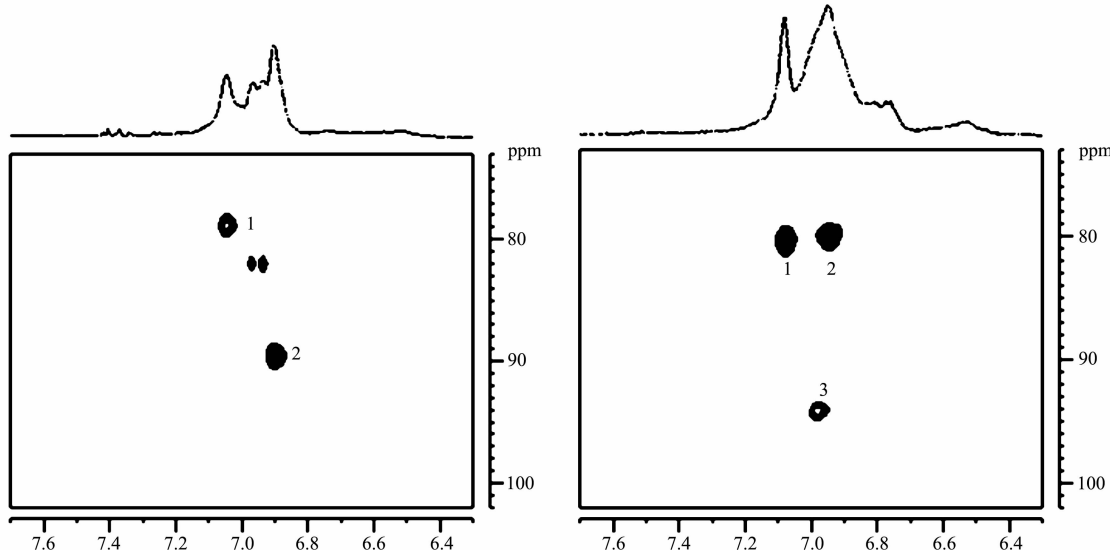


图5 配体L₁和配合物1的2D [¹H,¹⁵N] HSQC (600 MHz, DMSO-d₆)

Fig.5 2D [¹H,¹⁵N] HSQC spectrum of L₁ and complex 1 (600 MHz, DMSO-d₆)

取代基空间分布的不同，在溶液中，金属配合物会以多种构型共存。而当温度逐渐升高时，构型之间就会发生转换而趋向于形成热力学最为稳定的构型^[15]，因此可以利用变温核磁进行实时原位的跟踪，来研究溶液中配合物的构型之间的转换。在图 4 中，比较配合物 **1** 在不同温度下的的 ^1H NMR 谱可以看出：当温度升高到 70 °C 时，配合物的耦合裂分由于构型的转换而更加清晰。进一步利用变温核磁碳谱验证了配合物在溶液中以多种构型的共存。从图 6 碳谱上可以明显看到，随着温度的升高，碳谱峰的组数逐渐减少，最后以一个热力学最为稳定的构型存在。根据配合物的结构特点，结合 2D[$^1\text{H}, ^{15}\text{N}$]HSQC，在配体 L_i 的 2D[$^1\text{H}, ^{15}\text{N}$]HSQC 中，由于侧链化学环境的不同，可以看到两组交叉峰，分别为侧链 1,3-位亚甲基相连的 2 个 Boc 保护的伯胺氮原子上的氢；在配合物 **1** 的 2D[$^1\text{H}, ^{15}\text{N}$]HSQC 中，有 3 个交叉峰，可能存在一种主要构型，据文献可以推测该构型为 *trans*-**III**(图 7)构型^[16]。

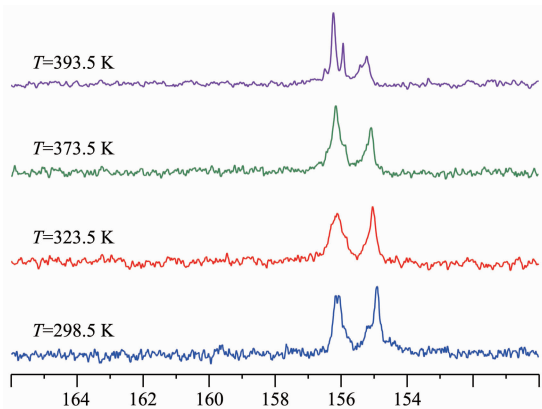


图 6 配合物 **1** 在不同温度下的 ^{13}C NMR 谱(400 MHz, DMSO- d_6)

Fig.6 ^{13}C NMR spectrum of complex **1** at different temperature (400 MHz, DMSO-d₆)

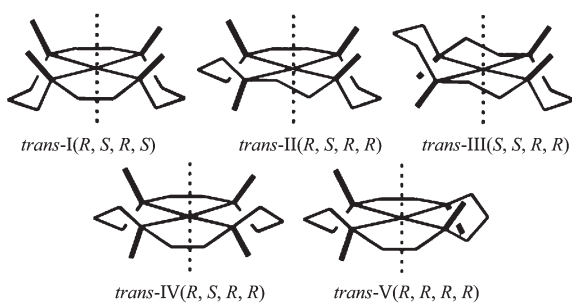
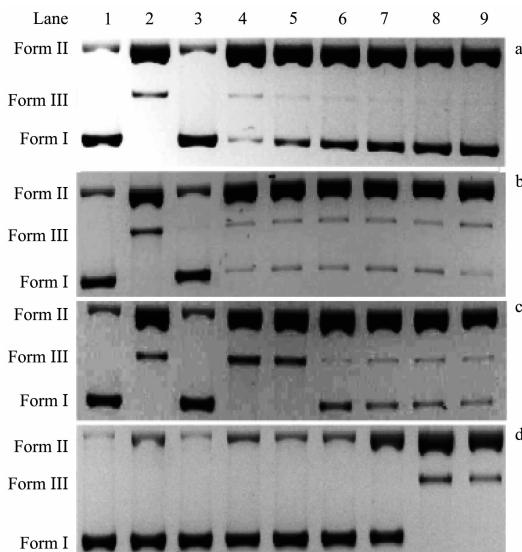


图 7 cyclam 衍生物的 *trans*-I ~ *trans*-V 构型

Fig.7 *trans*- I ~*trans*- V Configuration of cyclam derivatives

2.3 配体和金属配合物对 DNA 的切割

金属小分子化合物作为 DNA 的切割试剂得到广泛的研究,特别是人工水解切割酶的设计与合成。以超螺旋 pBR322 质粒 DNA 为底物,在 Tris-HCl 电泳缓冲液 ($50 \text{ mmol} \cdot \text{L}^{-1}$ Tris-HCl/ $50 \text{ mmol} \cdot \text{L}^{-1}$ NaCl, pH 7.4) 的水溶液介质中,分别考察了配体和金属配合物对 DNA 的切割活性。通过实验发现,配合物 **3** 在抗坏血酸存在的条件下具有核酸酶活性,其切割的机理可能是^[17]: Cu(II) 得到一个电子形成 Cu(I), Cu(I) 在化学还原试剂(抗坏血酸)存在下与氧分子反应生成超氧自由基,与 DNA 的磷酸二酯键发生氧化还原反应,使磷酸二酯键发生断裂;而配体(L_i),配合物 **1** 和配合物 **2** 在实验条件下,无论是氧化切割还是水解切割都显阴性,对于配合物 **1** 和配合物 **2**,分析可能是因为 cyclam 环上的 4 个 N 与金属配位后,由于 N 的给电子效应降低了金属的路易斯酸性,使其在实验条件下不能有效的降低中心原子的电荷密度,从而对 DNA 无论是氧化切割还是水解切割都显阴性;基于此假设,我们通过改变 cyclam 环上的取代基,设计合成了系列单核锌(II)的金属配合物,在对其核酸酶活性研究中发现,当 cyclam 环上的 N 为吸



a, b and c was incubated for 6 h at 55 °C and d was 1 h at 37 °C in a 50 mmol·L⁻¹ Tris-HCl/50 mmol·L⁻¹ NaCl buffer (pH 7.4). Lane 1, DNA control; Lane 2, DNA+ascorbate; Lane 3, DNA+L_i, 1, 2 or 3 (35 μmol·L⁻¹); Lane 4~9, DNA+ascorbate+L_i, 1, 2 or 3 (5, 10, 15, 20, 25 and 30 μmol·L⁻¹)

图 8 pBR322 (200 ng·μL⁻¹) 质粒 DNA 与 L_l (a), 1 (b), 2 (c) 和 3 (d) 的凝胶电泳图

Fig.8 Agarose gel electrophoresis for cleavage of the pBR322 plasmid DNA ($200 \text{ ng} \cdot \mu\text{L}^{-1}$) by L₁ (a), 1 (b), 2 (c) and 3 (d)

电子取代基时，其对应的锌(II)配合物表现出核酸酶活性，目前这部分工作还在整理过程中。

3 结 论

本研究以1,8-二甲基-1,4,8,11-四氮杂环十四烷为原料，以N,N'-二叔丁氧羰基-2-甲磺酰氧基-1,3-二氨基丙烷为烷基化试剂，合成得到了cyclam衍生物配体L₁以及其对应的系列单核金属配合物：Zn(L₁)Cl₂(1), Ni(L₁)Cl₂(2)和Cu(L₁)Cl₂(3)；核磁结果表明，L₁为C2对称结构，且cyclam环上每一个亚甲基碳上的2个氢化学不等价；利用2D[¹H, ¹⁵N]HSQC对比配体在配位前后，N-H化学位移的变化，确定配合物的结构是金属与配体cyclam环上的4个N进行配位；利用变温核磁，结合2D[¹H, ¹⁵N]HSQC，发现配合物1在溶液中以2种构型并存，并主要以trans-III构型存在。此外用凝胶电泳研究了配体与单核金属配合物对超螺旋pBR322质粒DNA切割活性。发现配合物3在抗坏血酸存在的条件下具有核酸酶活性，而配体L₁，配合物1和配合物2在实验条件下，无论是氧化切割还是水解切割都显阴性。对于配合物1和配合物2，分析可能是因为cyclam环上的4个N与金属配位，由于N的给电子效应降低了金属的路易斯酸性，使其在实验条件下不能有效的降低中心原子的电荷密度，从而对DNA无论是氧化切割还是水解切割都显阴性，该研究结果可为以cyclam衍生物为基础的人工核酸酶的设计与合成提供一定的参考。

参考文献：

[1] Hunter T M, Simpson D P, Smith A M, et al. *Chem. Eur. J.*,

2007,13:40-50

- [2] Liang F, Wan S, Xiong X, et al. *Curr. Med. Chem.*, **2006,13:**711-727
- [3] Ross A, Choi J H, Hunter T M, et al. *Dalton Trans.*, **2012,41:**6408-6418
- [4] Canaple L, Husken, J H, et al. *Bioconjugate Chem.*, **2002,13:**94-951
- [5] Korupolu S R, Mangayarkarasi N, Zacharias P S, et al. *Inorg. Chem.*, **2002,41:**4099-4101
- [6] Xia C Q, Jiang N, Zhang J, et al. *Bioorg. Med. Chem.*, **2006,14:**5756-5764
- [7] Zhang Q, Xiang Y, Liang D W, et al. *Bioorg. Med. Chem. Lett.*, **2012,22:**1814-1817
- [8] Li C, Zhao F F, Huang Y N, et al. *Bioconjugate Chem.*, **2012,23:**1832-1837
- [9] Joyner J C, Reichfield J, Cowan J A. *J. Am. Chem. Soc.*, **2011,133:**15613-15626
- [10] Sheng X, Guo X, Lu X M, et al. *Bioconjugate Chem.*, **2008,19:**490-498
- [11] Ramalingam K, Raju N, Nanjappan P, et al. *Tetrahedron*, **1995,51:**2875-2894
- [12] Kobelev S M, Averin A D, Buryak A K, et al. *Heterocycles*, **2011,82:**1447-1476
- [13] Yu M F, Price J R, Jensen P, et al. *Inorg. Chem.*, **2011,50:**12823-12835
- [14] Stephen J P, Sadler P J. *Chem. Commun.*, **2004:**306-307
- [15] Miyoshi T, Hayashi S, Imashiro F, et al. *Macromolecules*, **2002,35:**2624-2632
- [16] Liang X Y, Weishaupl M, Parkinson J A, et al. *Chem. Eur. J.*, **2003,9:**4709-4717
- [17] (a) Molphy Z, Prisecaru A, Slator C, et al. *Inorg. Chem.*, **2014,53:**5392-5404
 (b) Zhou W, Wang X Y, Hu M, et al. *Chem. Sci.*, **2014,5:**2761-2770